

〔苏联〕 A · A · 包里索夫 著

锚杆支架的计算方法

徐振亚 叶道一 譯 李世平 校

中国工业出版社

锚杆支架的計算方法

徐振亚 叶道一 譯 李世平 校

中国工业出版社

在这本小册子里，研究了锚杆支架計算的新方法，其中包括：裂隙性层状岩石頂板中锚杆支架的計算方法，无裂隙性层状岩石頂板中锚杆支架的計算方法，以及整体岩石頂板中锚杆支架的計算方法。介绍了为編制巷道锚杆支架支护说明书所必需的知识。

本书可供广大采矿工程技术人员、设计和科学的研究工作人員以及矿业高等院校学生参考。

А. А. Борисов
НОВЫЕ МЕТОДЫ
РАСЧЕТА
ШТАНГОВОЙ КРЕПИ
ГОССОРТЕХИЗДАТ МОСКВА 1962

* * *

锚杆支架的計算方法

徐振亚 叶道一譯

李世平 校

*

煤炭工业部书刊编辑室编辑(北京东长安街煤炭工业部大楼)

中国工业出版社出版(北京修善胡同10号)

北京市书刊出版业营业登记证字第110号

中国工业出版社第一印刷厂印刷

新华书店北京发行所发行·各地新华书店經售

*

开本787×1092毫米·印张2·字数39,000

1964年10月北京第一版·1964年10月北京第一次印刷

印数0001—2,270·定价(科七)0.30元

*

统一书号：15165·3218(煤炭-208)

目 录

緒 言	1
第一节 錨杆錨頭錨固強度的計算	4
一、楔縫式錨杆錨頭錨固強度的計算	4
二、漲壳式錨杆錨頭錨固強度的計算	10
三、对使用計算公式的意見	13
第二节 裂隙性岩石頂板中錨杆支架的計算	15
一、岩石的裂隙性	15
二、計算錨杆支架所用地压學說的选择	16
三、裂隙性岩石頂板冒落高度的確定	26
四、根据岩石裂隙性確定錨杆有效長度	29
五、中等裂隙性岩石和拱形斷面巷道中 錨杆支架的計算方法	30
六、中等裂隙性岩石和矩形斷面巷道中 錨杆支架的計算方法	36
七、鉸鏈壓壞安全性的校核	39
第三节 層狀岩石頂板中錨杆支架的計算	40
一、層狀硬岩頂板冒落區內承載能力減小過程的特徵	40
二、被錨固的岩層剛度相當時容許跨度的確定	42
三、頂板各層岩石剛度不同時錨杆支架的計算	45
四、根據剪切應力校核錨杆間距	48
五、將松軟岩石直接頂板懸附於較硬岩層時錨杆支架的計算	51
六、錨杆間距的確定	53
七、將薄層岩石懸附於較穩固岩體時錨杆支架的計算	55
結 論	57
參考文獻	58

緒 言

錨杆支架在各种地质条件下的有效应用，以及其应用范围的逐步扩大，提出了研究錨杆支架合理計算方法的必要性。

近年来，国内外学者对各种典型结构岩石所进行的井下和实验室研究，是建立錨杆支架計算方法的基础。

实验室研究有两种方法：相似材料模型法和光弹性法。

列宁格勒矿业学院的B.H.謝梅夫斯基、A.A.包里索夫、A.I.高洛莫津、И.П.托尔斯东諾夫，以及前全苏煤炭科学研究院的A.M.科津，国外的 A.札克松(英)等，都是用相似材料方法研究錨杆支架的。

B.H.謝梅夫斯基、И.И.克拉夫欽科(苏)，P.克瓦皮尔(捷)，A.札克松(英)等，都是用光弹性方法研究錨杆支架的。

实验室研究是在安装錨杆支架的情况下，研究頂板岩石的应力状态特征，并研究在各种类型结构頂板中使用錨杆后頂板岩石承载能力的变化。

许多实验室試驗都存在着重大的缺点，其中主要是过多地抽象了所研究的现象。Л.拉布采維奇的研究工作就是一个例子，这些研究工作仅考虑了一些个别情况，其中有些研究工作甚至没有考虑基本的相似准则，所采用的边界条件完全不正确，而且所試驗的岩石结构与岩石的实际结构也不一样。此外，这些試驗还没有考虑錨杆錨头的锚固和錨杆变形的条件，而錨杆所受的拉力则完全是任意施加的，即不是相

似的。

所有載于文献的国外研究工作如 A. 札克松以及絕大多数的国内研究工作都存在同样的缺点。

用光彈性法研究锚杆支架的所有已知研究工作中，也存在同样的缺点。以 A. 札克松和 P. 克瓦皮尔的試驗为例，在其試驗中沒有考慮任何相似准则，无论是锚杆的变形，还是边界条件都沒有模拟。因此，类似的試驗，只能看成是一种极个别的情况，即只有彈性指标高的均质坚硬頂板而且在巷道跨度十分小的情况下，才接近这种情况，然而这时实际上就沒有使用锚杆支架的必要了。

但是应当指出，当相似条件和边界条件得到遵守、且頂板的结构和锚杆的变形模拟得还不错时，光彈性的研究方法有可能得到很有效的結果。而这种可能性現在还没有被充分利用。

沒有考慮時間的影响，也是實驗室研究存在的重大缺点。

锚杆支架的井下試驗，主要是确定锚杆的承载能力，在个别情况下也确定锚杆锚头由于拉力产生位移的情况。根据这些研究，便可确定不同类型的锚杆在各种岩石中的大致承载能力。

锚杆支架的計算方法，过去对某些类型的頂板岩石，以及对平巷、平峒与峒室等提出得最多。

B.H. 謝梅夫斯基、E.I. 馬赫諾和B.E. 丘坎等提出了一系列适用于这些条件的計算方法。

在外国学者的許多計算方法中，应当提到 A. 拉布采維契、A. 尤質、法国的巴勒岑格爾和加拿大的 A. 柯爾列特等的計算方法。

分析現有計算方法表明，它們都缺乏有根据的假設，尤其是在选取相应的地压学說和計算方案时缺乏根据。

应当着重指出，在一些有关計算方法的著名著作中，都沒有揭示锚杆支架工作的实质，并且在計算公式中都沒有引入锚杆数目这一因素。锚杆間距的确定仅是从保証巷道下部岩层的稳定性出发，而未从保証由巷道頂板构成的整体結構的承载能力出发。

锚杆支架不同于点柱或棚子。它不仅和岩石一起共同工作，而且作为一种內部支架，能够改变岩石的性质，提高岩石的强度极限，如抗剪强度极限。从这方面說，用锚杆加固岩石就如同胶結加固裂隙性岩石一样。

計算方法的作用不仅是为了能正确地編制具体情况下的锚杆支架支护說明书，而且还有助于人們較全面地、正确地理解锚杆支架工作的实质。

要建立一种能完成必要計算的計算方法，如果不預先研究岩石的物理力学性质，是不可能的。因此計算方法的准确性完全取决于确定岩石物理力学性质特征的准确程度。所以所有使用锚杆支架的煤矿和金属矿井，都应当組織力量研究岩石的物理力学性质。为了使用锚杆，必須确定頂板岩石的真实結構，主要裂縫的方向和間距，岩石的抗压、抗拉、抗剪强度极限以及岩层与岩层之間、岩块与岩块之間的摩擦系数。

由于锚杆支架的工作状况难以檢查，并且必須保証工作安全，計算中就要求采用較大的强度安全系数。锚杆支架只有在事先經過认真試驗、并且安設质量完全可靠的条件下才能使用。

第一节 锚杆锚头锚固强度的计算

锚杆承载能力是一个相对概念，即是当锚杆（杆体或锚头）破坏或锚杆开始从钻孔中被抽出时，也就是锚杆强度或锚头锚固强度遭到破坏时的极限力。

锚杆锚头的锚固强度是锚杆计算的主要参数，但是对它的确定方法，研究得不够，原因在于课题本身就没有经过充分研究，而且难于考虑许多因素的影响，且其中一些因素是变量。所以目前所采用的锚杆锚头锚固强度的计算方法都是近似的方法。

一、楔缝式锚杆锚头锚固强度的计算

1959年E.H.马赫诺发表了楔缝式锚杆锚头锚固强度的计算方法，计算图如图1所示。计算原理是基于下述假设：锚杆2的端部1始终插入在岩石中，被锚杆拉坏的整块岩石总是具有球面A₁BB₁的形状。这个球面可以用其底部圆锥角 $\alpha=45^\circ$ 的圆锥体ABB代替，在这些假设条件下，得出下述平衡条件：

$$R = \pi r l \sigma_{n\mu,p}, \quad (1)$$

式中 r ——圆锥体底部的半径；

l ——圆锥体母线长；

$\sigma_{n\mu,p}$ ——岩石的抗拉强度极限。

但是，由于

$$r = \frac{c}{\operatorname{tg} \alpha}, \quad l = \frac{c}{\sin \alpha},$$

$$\text{所以 } R = \frac{\pi}{n} c^2 \sigma_{n u . p} \cos \alpha, \quad (2)$$

式中 n ——强度安全系数。

根据锚杆在井下和实验室进行的拉出试验证明：只有当 c 比较小且均质岩石的抗拉强度极限很小时，才出现如图 1 所示的破坏现象。因此这仅是一种个别情况。

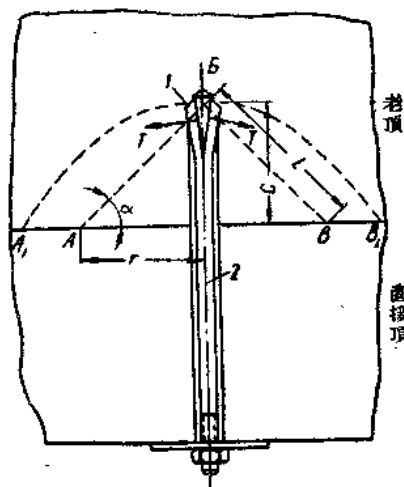


图 1 楔缝式锚杆锚头锚固强度的计算图
(按 E.H. 马赫诺方法)

此外，上述假设是很不实际的，就是在这种个别情况下也没有反映出所研究岩石结构实在的多种多样破坏方式。

当其他条件相同时，锚杆的承载能力决定于钻孔直径和杆体直径的比值，并且当它们的差等于楔子厚度时，锚杆的承载能力等于零。下述结论都是在下列条件下得出的：钻孔与锚头直径之差不超过 5~7 毫米，楔子有足够的厚度并且比

钻孔直径与杆体直径之差最少大两倍。

一切坚硬岩石，根据它们的抗压强度极限和钢材的抗压强度极限的关系可分为两类。

第一类岩石取决于不等式：

$$\sigma_{n4,ck,c.m} < \sigma_{n4,ck,n.o.p}, \quad (3)$$

式中 $\sigma_{n4,ck,c.m}$ ——钢的抗压强度极限；

$\sigma_{n4,ck,n.o.p}$ ——岩石的抗压强度极限。

极坚硬的火成岩和沉积岩属于这一类，如石英岩、极坚硬的砂岩等。这些岩石的单向抗压强度极限在 2200 公斤/平方厘米以上。应当注意，由于钻孔中岩石处于复杂应力状态条件下，在与锚杆锚头相接触的地方，岩石的实际抗压强度极限将大大地提高。

第二类岩石取决于不等式：

$$\sigma_{n4,ck,c.m} > \sigma_{n4,ck,n.o.p}. \quad (4)$$

砂岩、中硬的石灰岩、泥质页岩、砂质页岩等都属于这一类。

1. 第一类岩石锚杆锚头锚固强度的计算。

当满足不等式(3)时，锚杆锚头压入岩石所起的作用不大，因此锚杆的最大承载能力由下列平衡方程式确定

$$R_{max} = 2T_2, \quad (5)$$

式中 T_2 ——作用在锚杆锚头和岩石接触面上的摩擦力。

计算图见图 2。

用 P_1 表示锚杆安装时的压入力，其他符号如图 2。

显然，锚头的最大锚固强度可用下式表示

$$R_{max} = \frac{f_2 P_1}{\sin \alpha \cos \alpha}, \quad (6)$$

式中 f_2 ——钢和岩石间的摩擦系数。

取强度安全系数为 n , 则确定作用在锚杆上容许载荷或锚杆容许反力的计算式如下:

$$R_d = \frac{f_s P_1}{n \sin \alpha \cos \alpha} \quad (7)$$

例 已知: $P_1 = 4$ 吨, $n = 4$, $\alpha = 3^{\circ}30'$ 。

由手册表中查得 $f_2 = 0.4$, 但是考虑到钻孔表面的粗糙性及接触的紧密性较差, 因此可取 $f_2 = 0.2 \sim 0.3$, 则

$$\begin{aligned} R_d &= \frac{(0.2 \sim 0.3)4}{4 \cdot 0.061 \cdot 0.998} \\ &= (3.3 \sim 4.9) \text{ 吨}, \end{aligned}$$

即所得结果完全符合锚杆承载能力的实际范围, 从而证明公式(7)是适用的。

从公式(7)中可以看出, 增加锚杆的压入 P_1 , 适当减小 α 角及提高 f_2 , 都可以提高锚杆的承载能力。

2. 第二类岩石锚杆锚头锚固强度的计算。

满足不等式(4)时, 摩擦力 T_s 不可能达到很大的数值, 所以剪切力就起着主要的作用。当把锚杆压入钻孔时, 锚杆的端部将嵌入岩壁中去, 这种现象有点像锯齿切削刨花的情况, 端部嵌入岩壁的深度(刨屑厚度)在零与某个最大值之间变动。由于靠近眼底, 锚紧的最后阶段可能不像开始那样剪切岩石, 而是压缩岩石和把岩石挤碎。

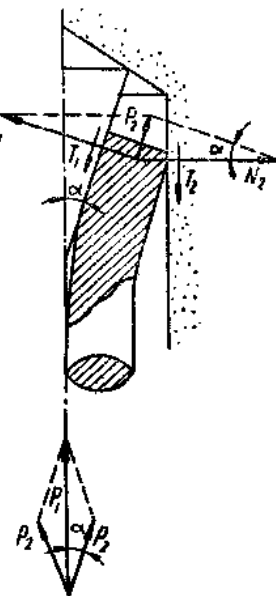


图 2 岩石抗压强度近似于钢或者大于钢的抗压强度极限时, 楔缝式锚杆锚固强度计算图

在这种情况下，锚杆的计算图如图3所示。

压入锚杆时的平衡条件如下式：

$$P_2 = T_1 + T_2 + \sigma_{n4, csk} \cdot S_1, \quad (8)$$

式中 S_1 ——锚杆端头与岩石的接触面积。

由于锚杆楔紧的最后阶段，岩石由被剪切转为受挤压，摩擦力相对较小，而且锚杆不再往上移动，因此方程式(8)可写成

$$P_2 = S_1 \sigma_{n4, csk}, \quad (9)$$

并且

$$S_1 = \frac{P_1}{2\sigma_{n4, csk} \cos \alpha}. \quad (10)$$

当锚杆是用压入法安装时，可直接得到 P_1 的大小；如

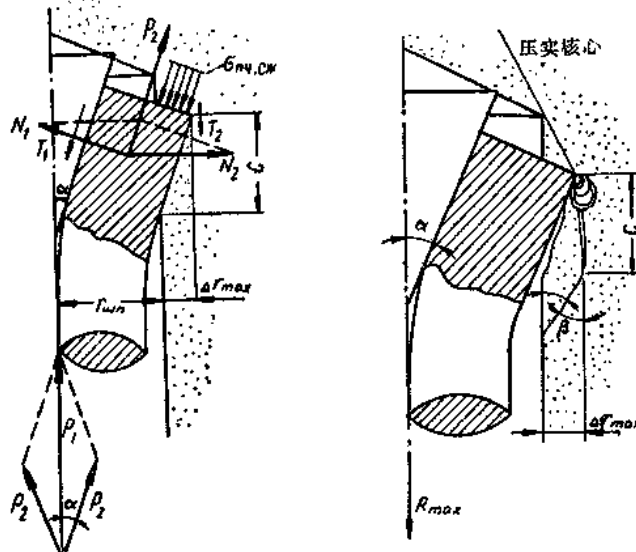


图3 楔缝式锚杆在打入或压入阶段情况下，锚头锚固强度计算图

图4 楔缝式锚杆在拉出阶段锚头锚固强度计算图

用冲击法安装，则可根据弹性体碰撞公式求得；采用扳手时，可近似地取

$$P_1 = 75 P_k,$$

式中 P_k ——扳手末端施加的力。

采用测力扳手或机械自动螺帽扳手时， P_1 力的计算也并不困难，这时可按各种参考书中介绍的公式求得。

当对锚杆施加超过它的最大承载能力的拉力时，将会看到一种与切削极相似的剪切破碎现象，剪切下来的岩石（刨屑）在纵剖面上呈镰刀形状。

参考文献〔2〕中证明：当岩石试块的局部表面承受钢制物体（压模或冲头）的静压或冲击载荷而破坏时，无论压模或冲头的形状怎样，在其底部都形成压实核心，由于这些压实核心的压缩变形而引起试块因受拉而破坏。

根据对剪切下来的岩石厚度为最大的剖面（即沿纵剖面上）的研究，图4表示岩石断裂形成的示意图，包括压实核心的产生及核心下部断裂裂缝开展的情况。

因此锚杆支架的最大承载能力由下式确定

$$R_{max} = 2\tau_p(S_2 + S_3) + 2T_2, \quad (11)$$

式中 τ_p ——岩石的抗剪强度极限；

S_2 ——断口的垂直面的面积；

S_3 ——断口斜面的面积。

可以取 $\tau_p = \sigma_{n4,p}$ ，这样是偏于安全的；此外由于 $2T_2$ 值相当小，故可略去不计，所以

$$R_{max} = 2\sigma_{n4,p}(S_2 + S_3). \quad (12)$$

根据(10)和(12)式，便可得到确定锚头最大锚固强度的公式

$$R_{max} = P_1 \cdot \frac{\sigma_{nq,p}}{\sigma_{nq,cok}} \cdot \frac{1}{\cos \alpha} \left(2c \operatorname{tg} \alpha + \frac{1}{\sin \beta} \right) \quad (13)$$

锚杆的容許反力

$$R_d = \frac{P_1}{n} \cdot \frac{\sigma_{nq,p}}{\sigma_{nq,cok}} \cdot \frac{1}{\cos \alpha} \left(2c \operatorname{tg} \alpha + \frac{1}{\sin \beta} \right) \quad (14)$$

对岩石來說， $\frac{\sigma_{nq,p}}{\sigma_{nq,cok}}$ 的变动范围相当大，其平均值可取

为 $\frac{1}{4} \sim \frac{1}{10}$ 。

例 設： $P_1 = 4$ 吨， $\alpha = 30^\circ 30'$ ， $\beta = 45^\circ$ ， $n = 4$ 。

則

$$R_d = \frac{4}{4} \cdot \frac{1}{(4 \sim 10)} \cdot \frac{2 \cdot 16.35 + \frac{1}{0.7}}{0.998} = (3.4 \sim 8.5) \text{ 吨}.$$

所得結果完全符合锚杆在上述工作条件下的实际承载能力，从而証明公式(14)是适用的。

在所研究的情况下，公式(14)成立的条件是

$$S_{k,k} \sigma_{nq,cok} > P_1, \quad (15)$$

式中 $S_{k,k}$ ——楔子端部的面积。

如果不保持不等式(15)的关系时，则楔子可能在公式(9)实现之前，就已插入岩石中去，即楔子将不会完全楔紧，这时锚杆的承载能力可能显得不足，因此当不等式(15)得不到满足时，應該在楔子端部与孔底之間放置鋼垫板。

应用公式(7)和(14)时，應該具有这些公式中所含一切数值的精确資料。

二、漲壳式锚杆锚头锚固强度的計算

A. 尤貢和巴勒岑格爾提出的漲壳式锚杆锚头锚固强度的計算方法[3]最为著名。这个方法的計算图如图5。

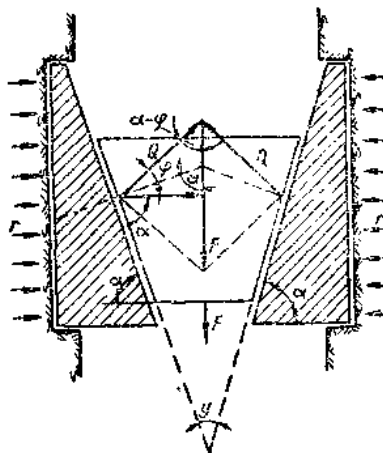


图 5 尤貢和巴勒岑格爾所提出的漲壳式
锚杆锚头锚固强度計算圖

正压力建議采用下式确定

$$R = \frac{F}{2} \operatorname{tg}(\alpha - \varphi). \quad (16)$$

为了确定漲壳式锚杆漲壳压入岩石的深度，A. 尤貢和巴勒岑格爾建議采用布辛涅斯克的方法解决，事先把漲壳的侧面变换为相似平面圆压模的表面，其半径

$$a = \sqrt{\frac{S_M}{\pi}}, \quad (17)$$

式中 S_M ——漲壳的侧面面积。

根据这个假設得出

$$\Delta r = \frac{F \operatorname{tg}(\alpha - \varphi)(1 - \mu^2)}{2E \sqrt{\frac{S_M}{\pi}}}, \quad (18)$$

式中 Δr ——漲壳压入岩石的深度；

φ ——鋼与鋼(通常就是楔子与漲壳材料)的摩擦角；

μ ——横向应变系数；

E ——岩石的弹性模数。

由于是研究杆体沒有任何移动时的平衡条件，所以锚杆的拉出力 F 可分解为两个垂直于楔子斜面的力，这两分力与 F 力的夹角为 α 。由于布辛涅斯克的解是在力作用于弹性半无限体情况下得到的，而用这个公式来計算钻孔內球形冲模压入时的情况則是完全任意設想的和沒有根据的，因此不能用公式(18)来确定漲壳式锚杆锚头的锚固强度。

上述情况下漲壳式锚杆锚头锚固强度計算图見图 6。

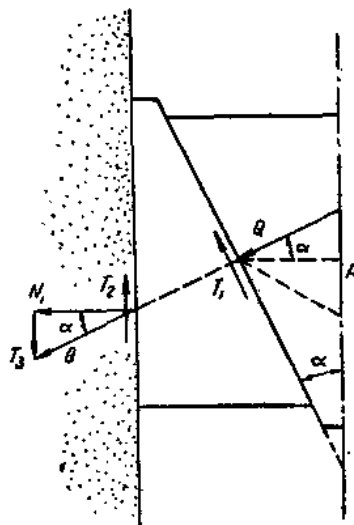


图 6 涨壳式锚杆锚头锚固强度計算图

在 $\sigma_{n\gamma, csk, cm} < \sigma_{n\gamma, csk, ncp}$ 即第一类岩石的情况下，平衡方程式为

$$R_{max} = 2T_1 \quad (19)$$

显然，锚杆的容许反力

$$R_d = \frac{f_z P}{n \operatorname{tg} \alpha}. \quad (20)$$

在 $\sigma_{nu,cm} > \sigma_{nu,no,p}$ 即第二类岩石的情况下，平衡方程式为

$$R_{max} = m \sigma_{nu,p} S + 2 T_z, \quad (21)$$

式中 m ——张壳的瓣数；

S ——每瓣底部的岩石受剪面积。

这时，由于张壳瓣压坏岩石，摩擦力只起次要的作用，因此可略去不计，则

$$R_{max} = m S \sigma_{nu,p}. \quad (22)$$

所以，近似地得到

$$m S = \frac{\pi}{\sin \beta} (d_{un} \Delta r + \Delta r^2), \quad (23)$$

如是，

$$R_d = \frac{\pi}{n \sin \beta} (d_{un} \Delta r + \Delta r^2), \quad (24)$$

式中 β ——岩石的剪切角；

d_{un} ——钻孔直径。

要解方程(24)就应该确定 Δr ，但是用理论方法来确定它是很困难的，因此为了应用公式(24)就要求通过试验来确定 Δr ， $\Delta r = \psi \left(\frac{N}{m S} \right)$ 。

三、对使用计算公式的意见

在井下现场条件下，经常采用类比的方法。一些文献资料中举出了锚杆初始滑动和锚杆拉出时锚固力的数值。如按谢梅夫斯基的资料[4]，楔缝式锚杆当承载能力为 2.18~5.80